

МЕТАМОРФИЗМ ПОРОД В СЕВЕРНОМ ОБРАМЛЕНИИ ЧЕРНОБОРСКОГО ГРАНИТОИДНОГО МАССИВА (КОЧКАРСКИЙ КОМПЛЕКС, Ю. УРАЛ)

А.И. Русин, П.С. Козлов

Черноборский массив относится к Кочкарскому ареалу орогенных гранитоидов и располагается в его южной части, между Санарским (на севере) и Чесминским интрузивами. Результатам изучения гранитоидного магматизма этого района посвящено много работ, в которых обсуждаются и вопросы метаморфизма вмещающих комплексов. Одними исследователями этот метаморфизм рассматривается как контактовый, обусловленный внедрением позднепалеозойских гранитов [Львов, 1965; Ферштатер и др., 1994; и др.], другими – предлагаются более сложные объяснения, постулирующие интенсивное развитие процессов ультраметаморфизма и магматического замещения в палеозойских [Болтыров и др., 1973; Минкин, 1975] или рифей-вендских [Сначев, Муркин, 1989] гнейсово-мigmatитовых куполах, которые и оказывают термальное воздействие на раннее метаморфизованное окружение. Такие трактовки приводят к противоположным оценкам глубин эрозионного среза, который, по представлениям Г.Б. Ферштатера, увеличивается в северном направлении, от Санарского к Варламовскому массиву, где вскрывается нижняя часть магматической колоны, а по представлениям В.И. Сначева – в южном, где в Санарском массиве он видит наиболее глубинный срез зоны ультраметаморфизма, характеризующийся появлением анатектических расплавов. Следует отметить, что метаморфические породы, вмещающие гранитоидные массивы, обнажены очень плохо и вся информация о них основывалась на данных бурения, проводившегося в различные годы при поисково-разведочных работах.

Специальное изучение метаморфизма в районе Светлинского месторождения впервые было проведено В.Б. Болтыровым с сотрудниками [1973]. Главный вывод этого исследова-

ния – двухэтапность регионального метаморфизма. Первый этап характеризовался условиями ставролит-кварцевой субфации умеренных Р. а второй (основной) – ставролит-кварцевой и силлиманит-альмандин-мусковитовой субфацией низких Р. К минералогическим свидетельствам I этапа отнесены мелкие деформированные зерна ставролита и зеленый биотит, а II – бурый биотит, ставролит, силлиманит, гранат, кордиерит и мусковит. По Gr-Bt* равновесию в трех образцах получены температуры 590 и 620°C. Обоснование малой глубинности зонального метаморфизма аргументировалось присутствием в породах кордирита и куммингтонита, а также геологическими соображениями. Отмечена конформность изограды силлиманита с контурами гранитоидных массивов, что рассматривалось как свидетельство воздымания метаморфических ядер, падения в них давления и развития явления ультраметаморфизма вплоть до антексиса. Эта трактовка была принята Л.М. Минкиным [1975] для характеристики метаморфизма всего кочкарского комплекса и дополнена представлениями о проявлении в нем постинтрузивных процессов кислотного выщелачивания, отмечаемых региональной мусковитизацией и локальным развитием жил кианитовых алюмокварцитов, залегающих среди кварц-мусковитовых сланцев (Борисовские сопки, Светлинское, Михайловское месторождения). Приведены данные Г.Н. Вертушкова по Михайловскому месторождению кианита, которым в слюдяно-кварцевых сланцах описывались кварцевые жилы с гигантскими кристаллами андалузита в ассоциации с силлиманитом и корундом. Более мелкие зерна этих минералов отмечены и во вмещающих породах, где устанавливается развитие андалузита после силлиманита и замещение андалузита корундом.

* Принятые сокращения минералов: Bt₅₀ – биотит (цифры при символе Fe-Mg минералов – общая железистость), Gr – гранат, St – ставролит, Ky – кианит, Sil – силлиманит, Cor – кордиерит, Mu¹⁵ – мусковит и содержание парагонита, CrMu – фуксит, Phn – фенит, Chl – хлорит, Pl₂₀ – плагиоклаз и его номер, Q – кварц, Graph – графит, Ilm – ильменит, Mt – магнетит.

Критическое рассмотрение приведенных в работе [Болтыров и др., 1973] парагенезисов и составов минералов, а также анализ Bt-Gr и St-Gr равновесий показал, что количественные параметры метаморфизма предполагавшихся первого ($T=540-570^{\circ}\text{C}$; $P_s=5,5-5,9$) и второго ($T=560-585^{\circ}\text{C}$; $P_s=5,4-6,2$) этапов практически перекрываются и для выделения зональности андалузитового типа данных недостаточно [Федькин, 1975].

Представления о многоэтапности метаморфизма кочкарского комплекса, в своеобразной интерпретации, обосновывались В.И.Сначевым с соавторами [Сначев, Муркин, 1989 и др.]. В сланцевом обрамлении «gneйсово-мigmatитовых куполов» выделялось три последовательные метаморфические зоны, каждая из которых связана с самостоятельным этапом метаморфизма (региональным, роста куполов, kontaktовым), практически не различающихся по режиму давления (5-6 кбар). Первая зона отвечает условиям ставролит-хлоритовой, а вторая – ставролит-кордиеритовой и ставролит-жедритовой субфациям. В первой зоне отмечается кианит, а в верхах второй – силлиманит. Третья зона относится к амфибол-роговиковой фации. Вся температурная зональность укладывается в интервал $500-625^{\circ}\text{C}$. Использованные авторами для фациального подразделения наименования субфаций были предложены [Федькин, 1975] для недосыщенных калием метапеллитов, которые в кочкарском комплексе встречаются сравнительно редко, и указание, что такая зональность закартирована по данным буровых работ на Кочкарской площади (?), требует более точной географической привязки.

Большой аналитический материал по составам пород и минералов с приложением схематической карты метаморфизма Кочкарского антиклиниория приведен в работе [Ферштатер и др., 1994]. На этой карте, составленной с использованием материалов поисковых работ Зеленогорской экспедиции, показаны поля распространения мусковит-ставролитовой, ставролит-андалузитовой, ставролит- и мусковит-силлиманитовой зон, формирующих единый термальный ореол вокруг Санарского, Борисовского и

Варламовского массивов. Впервые отмечено широкое развитие андалузита и сделан общий вывод о принадлежности метаморфизма пород кочкарского комплекса к фациальной серии пониженных давлений, оцененных на основе авторского варианта амфибол-плагиоклазового геотермобарометра значением 2 – 2,5 кбар. Отсутствие анатектических мигматитов в обрамлении гранитных массивов, по мнению авторов, определенно указывает на то, что верхний температурный предел метаморфизма был ниже гранитного солидуса. Минимальная температура метаморфизма оценена значением около 500°C .

Приведенный краткий обзор существующих представлений об условиях зонального метаморфизма пород кочкарского комплекса показывает, что практически всеми исследователями, вне зависимости от предлагаемых моделей,дается сходная оценка температурных условий и различия возникают в определении режима давления. Оценить объективность оценок давления достаточно сложно, так как в публикациях присутствуют перечисления метаморфических минералов, но критические парагенезисы не обозначаются. Ревизия первичного каменного материала буровых скважин, использованного различными авторами, исключена, а представительные коренные обнажения метаморфического комплекса к северу от Санарского массива найти не удалось. Вместе с тем, прекрасные скальные выходы ставролит-гранатовых кристаллических сланцев к югу от Санарского массива, в районе водоотвода Черноборского пруда давно известны (рис. 1). Это место по-своему уникально. Здесь обнажается не только представительный фрагмент кочкарского метаморфического комплекса, но и непосредственный контакт кристаллических сланцев с гранитоидами Черноборского массива (рис. 2, 3).



Рис. 1. Скальные выходы ставролит-гранатовых кристаллических сланцев в водоотводе Черноборского пруда.



Рис. 2. Зона контакта кристаллических сланцев с гранитоидами Черноборского массива.



Рис. 3. Увеличенный фрагмент зоны контакта.

Результаты проведенного нами исследования дают основание полагать, что именно этот район может иметь ключевое значение для понимания режима и природы метаморфизма всего комплекса.

Геологические строение и соотношение гранитов с вмещающими породами отчетливо выражены на составленной нами схематиче-

ской карте северного обрамления Черноборского массива (рис. 4). Моноклинально залегающая, с северо-восточным падением под углами 40–65°, толща кристаллических сланцев прослеживается вдоль русла водослива, от рвущего контакта с гранитами, в северо-западном направлении на расстоянии около 200 м, а затем – в отдельных коренных выходах и делювиальных

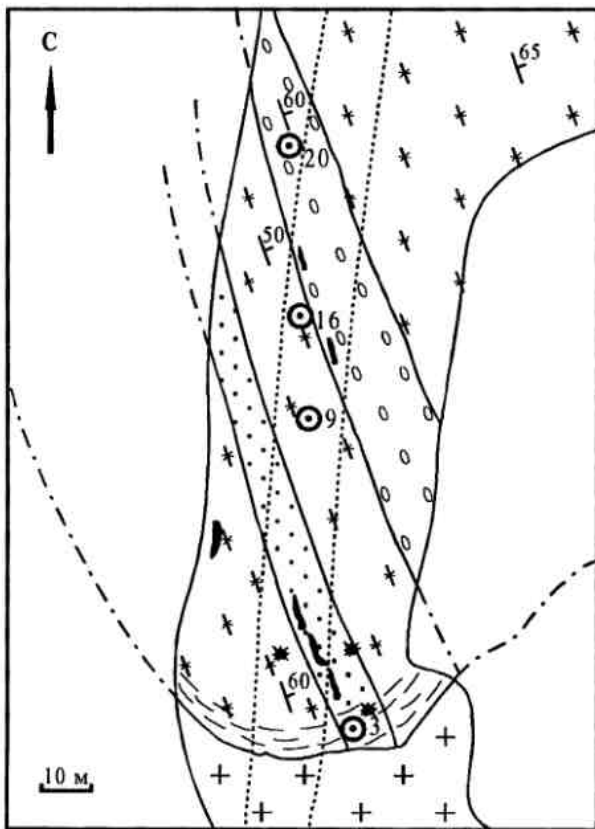


Рис. 4. Схема геологического строения зоны северного экзоконтакта Черноборского массива.

[empty box]	1	четвертичные отложения;
[asterisk symbol]	2	сланцы кристаллические двуслюдянные с гранатом, ставролитом и кианитом, содержащие тонкие прослои графитистых сланцев обособляющийся прослой; 3 – графитистые кварциты и сланцы с гранатом, ставролитом и кианитом;
[dotted box]	4	рассланцованные метаконгломераты и кварциты, содержащие тонкие прослои высокоглиноземистых сланцев;
[circle symbol]	5	участки интенсивного развития фибролита по ставролиту и кианиту;
[vertical line symbol]	6	полевошпат-кварц-мусковитовые жилы с кианитом;
[plus sign symbol]	7	биотитовые граниты Черноборского массива;
[diagonal line symbol]	8	(а) и предполагаемые (б) геологические границы;
[angle bracket symbol]	9	9 – элементы залегания слоистости – полосчатости;
[wavy line symbol]	10	кливаж с крупными порфиробластами мусковита;
[circle with '3' symbol]	11	11 – места отбора проб с микрозондовыми анализами минералов;
[dashed box symbol]	12	12 – контуры водослива из Черноборского пруда в р.Черную.

развалах еще около 150-200 м к востоку. В поперечном разрезе по литологическому и петрографическому составу в ней хорошо обособляются два горизонта мощностью по 10-15 м, в одном из которых преобладают графитистые кварциты и сланцы, а в другом – метаконгломераты, содержащие прослои высокоглиноземистых сланцев. Кристаллические сланцы с гранатом, ставролитом и кианитом, включающие прослои микро- и мелкозернистых кварцитов мощностью от 1 до 8 см, являются преобладающими во всем разрезе толщи. Все породы обладают слоисто-полосчатой, сланцеватой текстурой. Структура их порфиробластовая и глимеробластовая, за счет обособлений порфиробластов граната и ставролита, размеры которых в отдельных прослоях достигают одного и более сантиметров. В метаконгломератах отчетливо выделяются хорошо окатанные, но пластически растянутые гальки гранулированного кварца (размер по длинной оси до 15 см). Породы этого горизонта имеют специфический светло-зеленый цвет благодаря фукситу. Первичные особенности строения хорошо сохранились только в метаконгломератах, а в других разновидностях пород предполагаются, исходя из полевых и петрографических наблюдений. В целом же всю толщу можно рассматривать как метатерригенно-осадочную. В данном разрезе отсутствуют карбонатные породы, но в западном обрамлении Черноборского массива и севернее (Каменный лог у пос. Черноречье) нами наблюдались крупно- и среднекристаллические мраморы. По данным [Ферштатер и др., 1994], метатерригенно-карбонатные толщи составляют основной объем кочкарского метаморфического комплекса в более северных районах и, судя по особенностям минерального состава, имеют большое сходство с породами изученного нами района.

Кристаллические сланцы, графитистые кварциты и метаконгломераты северного обрамления Черноборского массива по своему валовому составу относятся к одному из наиболее хорошо исследованных классов метаморфических пород – насыщенных K_2O высокоглиноземистых метапелитов. В различных литологических разностях устанавливаются однотипные ассоциации метаморфических минералов, которые часто различаются лишь количественными соотношениями. На основе петрографических наблюдений и данных микрозондового анализа (табл. 1) нами выделены следующие типо-

вые парагенезисы: $St_{84}+Bt+Gr+Q+Graph+IIm+Sil+Pl_8 St_{83}+Gr_{86-88}+Bt_{55}+Mu^{11-12}+Pl_{27}+Q+IIm+Sil$, $St_{85}+Gr_{85-86}+Bt_{51}+Mu^{15-16}+Ky+Pl_1+Q+IIm$, $Bt+St+Ky+Mu+Q+Graph+Pl_{10-15}$, $St+Ky+Bt+Q$, $Bt+Mu+Pl+Q+Graph+IIm$, $Q+Bt+St+Gr+Graph$, $Bt+St+Ky+Gr+Q$, $Q+CrMu^{11}+Ky+Gr_{85-86}+St+Bt_{52}$, $Q+CrMu+St+Gr+Graph$. В большинстве своем они равновесны и относятся к кианит-биотит-ставролитовой субфации [Кориковский, 1979]. Это наиболее высокотемпературная субфация ставролитовой фации в комплексах кианит-силлиманитового типа. Ее нижняя граница определяется по исчезновению парагенезиса $St+Chl+Mu$ в мусковитсодержащих породах, а верхняя – по распаду последних ставролитов. Хлорит в приведенных выше парагенезисах не отмечен, т.к. встречается он очень редко в мельчайших чешуйках. Ставролит устойчив в большинстве типов пород. Можно было бы более определенно высказаться о режиме давления, но полной уверенности в равновесности фибролитового силлуманита нет, и этот вопрос будет рассмотрен при описании контактowej зоны.

Взаимоотношения гранитоидов Черноборского массива с вмещающими кристаллическими сланцами отчетливо устанавливаются в начале водосливного канала (рис. 2-4). Здесь граниты под прямым углом пересекают слоистость-полосчатость горизонта графитистых кварцитов. Контакт, несомненно, интрузивный, практически не осложненный тектоникой. В эндоконтактовой зоне отмечается некоторое уменьшение зернистости биотитовых гранитов, которое можно связывать с внедрением интрузива в уже метаморфизованные относительно холодные породы, а в кристаллических сланцах – маломощные апофизы гранитов протяженностью в первые метры. В экзоконтактовой зоне (0–1,5 м) параллельно контакту установлен широтный кливаж (аз. пад. 180, угол 65–70 градусов), вдоль которого поперек слоистости и полосчатости сланцев развиваются порфиробласти позднего мусковита размером до 10 мм (до 1–2 %). Отмечено, что, по мере удаления на север от контакта на расстояние до 70 м, величина порфиробластов мусковита в сланцах уменьшается до 1–3 мм, понижается и его содержание до единичных порфиробластов. Под микроскопом в мусковите устанавливается ярко проявленная гелицитовая структура с сохранением ориентировки всех ранее образованных вдоль полосчатости и сланцеватости минералов основной ткани (графита, биотита, мусковита и др.) и порфиробластов ставролита и дистена.

Таблица 1

Химический состав (мас.%) и кристаллохимические коэффициенты (ат.%) минералов из кристаллических спанцев северного экзоконтакта Черноборского массива

Компо-ненты	ЧБ-3						ЧБ-9					
	Si _{core}	r-c	c-r	Si _{rim}	Si _{core}	r-c	Si _{core}	r-c	Gr	Si _{core}	r-c	Si _{core}
SiO ₂	27,31	27,52	28,10	27,31	37,39	66,25	-	27,69	37,21	37,14	36,88	37,43
TiO ₂	0,66	0,61	0,58	0,64	-	50,93	0,62	-	0,01	0,02	1,65	0,58
Al ₂ O ₃	53,78	53,70	53,53	53,69	61,73	20,82	0,07	54,12	21,30	21,22	21,17	18,91
FeO*	12,99	13,31	13,02	13,06	0,23	0,03	45,52	12,96	33,95	33,59	33,61	20,38
MgO	1,44	1,43	1,45	1,46	0,05	-	0,05	1,47	2,73	3,14	3,13	2,82
MnO	0,12	0,13	0,17	0,12	-	0,65	0,16	3,45	2,85	3,10	3,13	0,08
ZnO	-	-	0,02	0,02	-	0,04	-	0,03	-	-	0,03	0,01
CaO	-	-	-	-	0,02	1,66	-	-	-	-	0,01	-
Na ₂ O	0,01	0,01	0,02	0,05	0,04	10,74	0,03	0,05	0,03	1,47	1,63	2,44
K ₂ O	0,01	-	-	0,02	0,01	0,06	-	0,01	-	0,04	0,02	0,21
Сумма	96,85	96,71	96,89	98,36	99,47	99,59	97,26	97,12	100,14	99,68	99,65	100,31

Кристаллохимические коэффициенты												
Si	8,104	8,042	8,178	8,005	1,015	2,919	-	8,044	2,995	2,993	2,980	3,002
Ti	0,144	0,133	0,128	0,140	-	0,995	0,136	-	0,001	0,001	0,095	0,029
Al	18,45	18,49	18,36	18,55	1,975	1,081	0,002	18,53	2,021	2,021	2,001	1,699
Fe	3,163	3,252	3,170	3,202	0,005	0,001	0,989	3,148	2,286	2,264	2,271	1,235
Mg	0,627	0,622	0,629	0,638	0,002	-	0,002	0,635	0,327	0,378	0,337	1,299
Mn	0,029	0,033	0,041	0,029	-	0,014	0,039	0,235	0,195	0,212	0,212	0,005
Zn	-	-	0,004	0,004	-	0,001	-	0,007	-	-	0,001	-
Ca	0,001	-	-	-	0,001	0,078	-	-	0,127	0,141	0,209	-
Na	0,005	0,008	0,009	0,029	0,002	0,917	0,002	0,028	0,005	0,006	0,003	0,030
K	0,002	0,001	0,001	0,005	-	0,003	-	0,005	0,002	-	0,002	0,003
F _{общ}	83,5	83,9	83,4	83,4	-	83,2	87,5	85,7	85,7	86,9	55,1	50,5

Таблица 1 (продолжение)

Компо-ненты	St	ЧБ-16				ЧБ-20				Gr	core	Gr	core	Bt	Mu	Ky
		core	r-c	Gr	c-r	core	rim	Gr	core							
SiO ₂	28,43	37,19	37,13	37,07	35,58	46,84	47,38	66,47	36,42	-	37,20	37,26	35,68	46,51	37,38	
TiO ₂	0,70	-	-	0,02	2,47	0,68	0,65	-	0,01	50,85	-	2,46	0,63	-	-	
Al ₂ O ₃	54,09	21,37	20,68	20,43	21,40	19,21	36,78	36,23	21,30	61,14	0,04	21,11	21,37	19,55	36,63	63,67
FeO*	12,44	34,10	33,50	33,29	33,57	18,29	1,08	1,00	0,03	0,26	45,33	34,06	33,70	18,08	0,95	0,23
MgO	1,27	3,21	3,19	3,25	3,13	10,06	0,58	0,59	-	0,04	0,05	3,27	3,08	9,52	0,65	0,02
MnO	0,21	3,06	2,99	3,00	2,88	0,06	-	-	-	0,67	3,22	3,07	0,07	-	-	-
ZnO	0,15	-	-	-	-	-	-	-	-	-	-	-	0,02	-	-	-
CaO	-	1,51	1,53	1,62	1,88	0,41	-	0,01	1,47	0,02	-	1,88	2,44	-	-	-
Na ₂ O	0,02	0,04	0,06	0,04	0,03	0,28	0,99	1,05	10,16	0,04	0,05	0,06	0,03	0,27	0,83	-
K ₂ O	0,01	0,01	0,02	0,02	-	7,11	8,20	8,50	0,07	0,04	-	-	8,95	9,86	0,01	-
Сумма	97,31	100,49	99,10	98,68	99,97	93,45	95,15	95,41	99,50	97,95	96,98	100,78	100,95	94,60	96,06	101,31
Кристаллохимические коэффициенты																
Si	8,213	2,981	3,014	3,018	2,982	2,710	3,073	3,103	2,920	1,004	-	2,979	2,975	2,707	3,053	0,996
Ti	0,153	-	-	0,001	-	0,141	0,034	0,032	-	-	0,996	-	-	0,141	0,031	-
Al	18,417	2,019	1,979	1,963	2,028	1,725	2,844	2,797	1,103	1,987	0,001	1,992	2,010	1,748	2,834	2,001
Fe	3,006	2,286	2,274	2,269	2,258	1,165	0,059	0,055	0,001	0,006	0,988	2,281	2,250	1,147	0,052	0,005
Mg	0,545	0,383	0,386	0,395	0,375	1,142	0,057	0,057	-	0,002	0,390	0,367	1,077	0,064	0,001	-
Mn	0,050	0,208	0,206	0,207	0,196	0,004	-	-	-	0,015	0,218	0,207	0,004	-	-	-
Zn	0,032	-	-	-	-	-	-	-	-	-	-	-	-	0,001	-	-
Ca	-	0,130	0,133	0,141	0,162	0,034	-	0,001	0,069	0,001	-	0,161	0,209	-	-	-
Na	-	0,006	0,009	0,006	0,005	0,041	0,125	0,133	0,865	0,002	0,002	0,009	0,004	0,040	0,106	-
K	0,012	0,006	0,009	0,002	0,002	0,691	0,686	0,710	0,004	0,001	-	85,4	86,0	51,6	0,825	-
F _{общ}	0,003	0,001	0,002	0,002	-	85,2	85,8	50,5	50,9	49,1	-	-	-	-	-	44,8

Примечание. Кристаллохимические коэффициенты рассчитаны на фиксированное количество кислорода: Gr – 12, St – 48, Pl – 8, Ky (Sil) – 5, Ilm – 3, Bt – 11, Mu – 11; точки анализов: core – ядро, rim – кайма, c-g – ближе к ядру, с-g – ближе к кайме. Микрозондовые анализы выполнены в СО РАН.

Большой интерес в зоне экзоконтакта вызывает образование белых сферолитоподобных гемерофилобластов фибролита. В инт. 0,5-1,5 м от контакта их размер достигает 5-8 мм с содержанием до 3-5 %. Прослеживание обособлений фибролита по простирации графитистых сланцев показало падение их величины (до 0,5 мм) и содержания до десятых долей процента на расстоянии 75 м от контакта. Под микроскопом повсеместно наблюдается в целом поперечная ориентировка фибролита по отношению к кристаллизационной сланцеватости и развитие по ставролиту и дистену и, в ряде случаев, разъединения силлиманитом порфиробластов ставролита в сланцах вблизи контакта. Все это свидетельствует о позднем образовании фибролитового силлиманита по отношению к парагенезису St+Ky+Gr+Bt+Mu+Q. В порфиробластах мусковита второй генерации фибролитовый силлиманит был отмечен в виде включений. В отдельных шлифах нам встречался и пластинчатый силлиманит, однако взаимоотношения его с другими минералами установить не удалось. Равновесность его с критическими парагенезисами кианит-ставролитовой субфации могла бы говорить о близости давления к линии фазового перехода Ky-SiL. Ассоциацию же фибрилитового силлиманита с порфиробластическим мусковитом второй генерации можно интерпретировать как свидетельство проявления процессов кислотного выщелачивания.

Предполагалось, что проведение микрозондового анализа минералов позволит ответить на вопрос о степени термального воздействия гранитов на метаморфическую толщу. Однако в составах железо-магнезиальных минералов значимых колебаний не устанавливается (см. табл. 1). Общая железистость биотитов (51-55%) и содержание в них истонит-сидерофиллитового минала (82-90%) отражают скорее некоторые

колебания в валовом составе пород. Значимых изменений железистости не наблюдается и в микрозондовых профилях ставролитов и гранатов. В компонентном же составе гранатов обнаруживается небольшое (2-3%) увеличение кальциевого минала, что обычно интерпретируется как следствие понижения температуры или повышения давления. Заслуживающие внимания тенденции обнаружились при расчетах температур минеральных равновесий (табл. 2). Практически полная сходимость показаний Bt-Gr и St-Gr термометров, указывающая на равновесность данных парагенезисов, выявила и некоторое (около 20°C) возрастание температуры при удалении от контактной зоны. Противоположная тенденция обнаружилась в показаниях Gr-Phn термометра, отмечающего возрастание температуры на 150°C по направлению к контакту. Несогласованность полученных значений с другими термометрами хорошо подтверждает мысль о более позднем образовании мусковитов. Можно допустить, что с процессами кислотного выщелачивания, наиболее интенсивно проявившимися в экзоконтактовой зоне, было связано не только образование фибролитового силлиманита и мусковита, но и частичная альбитизация плагиоклазов, установленная микрозондовым анализом.

Обсуждение результатов. Полученные новые данные позволяют сделать вывод, что метаморфизм пород, отвечающий кианит-биотит-ставролитовой субфации умеренных давлений (5,5-6,5 кбар), в северном обрамлении Черноборского массива не был связан с внедрением гранитов. Интрузия произошла в уже метаморфизованные породы и не вызвала их ороговиковования. Воздействие, которое она оказала на вмещающие кристаллические сланцы, было зафиксировано в интенсивном развитии процессов кислотного выщелачивания, затухающих

Таблица 2
Температуры минеральных равновесий в кристаллических сланцах
северного обрамления Черноборского массива

№ обр	Bt-Gr (Перчук, 1989)		St-Gr (Федькин, 1986)		Gr-Phn (Авченко, 1990)	
	ядро	кайма	ядро	кайма	ядро	кайма
ЧБ-9	558	568	-	562	631	642
					615	625
ЧБ-16	571	570	588	-	536	536
					521	521
ЧБ-20	592	583	-	-	485	481

по мере удаления от контактовой зоны. Естественно предположить, что и в более северных районах Кочкарского гранитоидного ареала метаморфизм вмещающих комплексов также не был связан с внедрением позднепалеозойских гранитов. Такой трактовке противоречит отмечаемая всеми исследователями конформность контурам гранитных массивов изограды силлиманита. Хорошо бы иметь более строгие обоснования истинности этой изограды, а не обусловленности ее процессами кислотного выщелачивания. Вторым вопросом, заслуживающим обсуждения, является неопределенность географического положения и соотношений кианит-и андалузитсодержащих парагенезисов. Ассоциация их с кордиеритом позволяет допустить, что к северу от Санарского массива давления понижались до пограничных между кианит-силлиманитовыми и андалузит-силлиманитовыми типами комплексов. Такие пограничные комплексы отнесены А.Хитанен [Hietanen, 1967] к типу Айдахо, в которых обычен парагенезис $Bt+Al_2SiO_5+Cor+Mu+Q$, а все три полиморфа могут присутствовать совместно либо появляться в различной последовательности.

Авторы благодарны доктору геолого-минералогических наук А.И.Лиханову (ОИГГи М СО РАН, г. Новосибирск) за помощь в проведении микрозондового анализа.

Работа выполнена при частичной поддержке гранта Президента РФ НШ-85.2003.5

Список литературы

- Авченко О.В. Минеральные равновесия в метаморфических породах и проблемы геотермобарометрии. М.: Наука, 1990. 182с.
- Болтыров В.Б., Пыстин А.М., Огородников В.Н Региональный метаморфизм пород в северном обрамлении Санарского гранитного массива на Южном Урале // Геология метаморфических комплексов Урала. Тр. СГИ. Вып. 91. Свердловск, 1973. С. 53-66.
- Кориковский С.П. Фации метаморфизма метапелитов. М.: Наука, 1979. 262с.
- Льзов Б.К. Петрология, минералогия и геохимия гранитоидов Кочкарского района (Южный Урал). Л.: Изд-во ЛГУ, 1965. 164с.
- Минкин Л.М. Карта метаморфизма Северного, Среднего и северо-восточной части Южного Урала. Свердловск: УТГУ, 1975. 276с.
- Перчук Л.Л. Взаимосогласование некоторых Fe-Mg-геотермометров на основе закона Нернста: ревизия // Геохимия. 1989. № 5. С. 611-622.
- Сначев В.И., Муркин В.П. Новые данные по магматизму, метаморфизму и металлогении Кочкарской площади (Ю.Урал). Уфа: БНЦ УрО АН СССР, 1989. 24 с.
- Федъкин В.В. Ставролит. М.: Наука, 1975. 272 с.
- Федъкин В.В. Геотермобарометрия метапелитовых комплексов и проблема эволюции метаморфизма // Эксперимент в решении актуальных задач геологии. М.: Наука, 1986. С. 183-200.
- Ферштатер Г.Б., Бородина Н.С., Рапонорт М.С. и др. Орогенный гранитоидный магматизм Урала. Миасс: УрО РАН, 1994. 250 с.
- Hietanen A. On the facies series in various types of metamorphism // J. Geology. 1967. V. 75. N 2. P. 187-214.